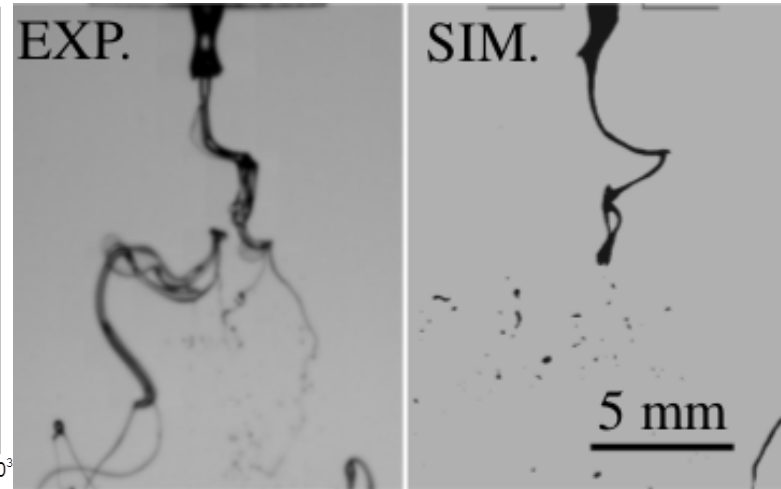
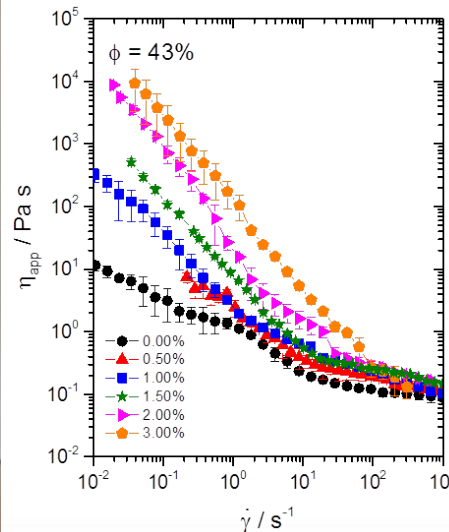
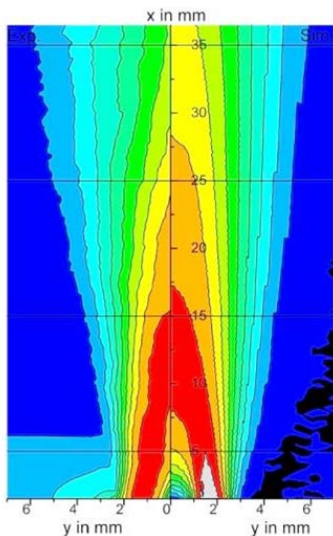


Zerstäubung von biosyncrude

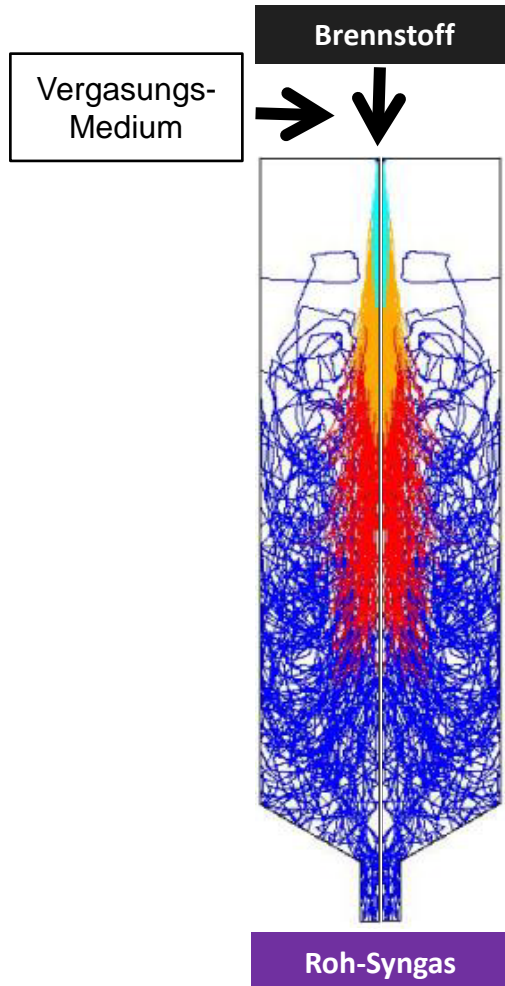
(Begleitforschung bioliq[®] 2)

KIT (ITC, EBI, ITS, MVM)

Tobias Jakobs



Prozessschritte der Flugstromvergasung



Prozessschritte:

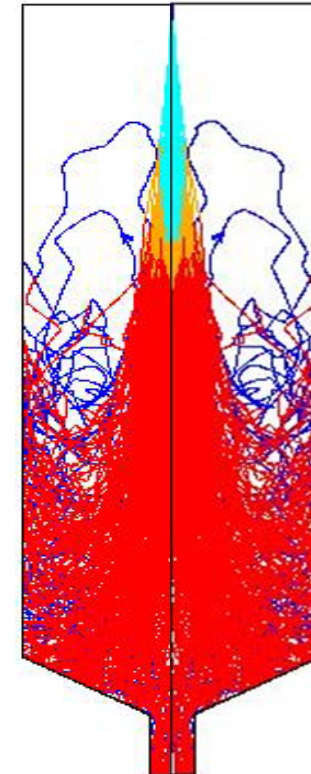
Zerstäubung

Verdampfung

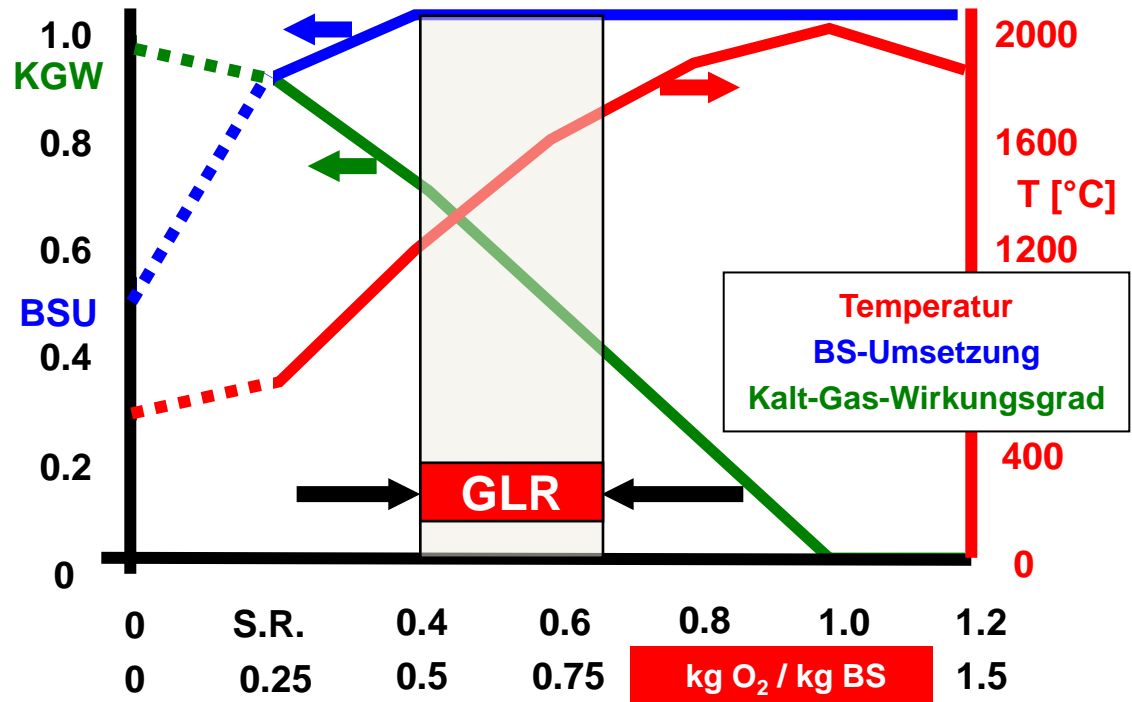
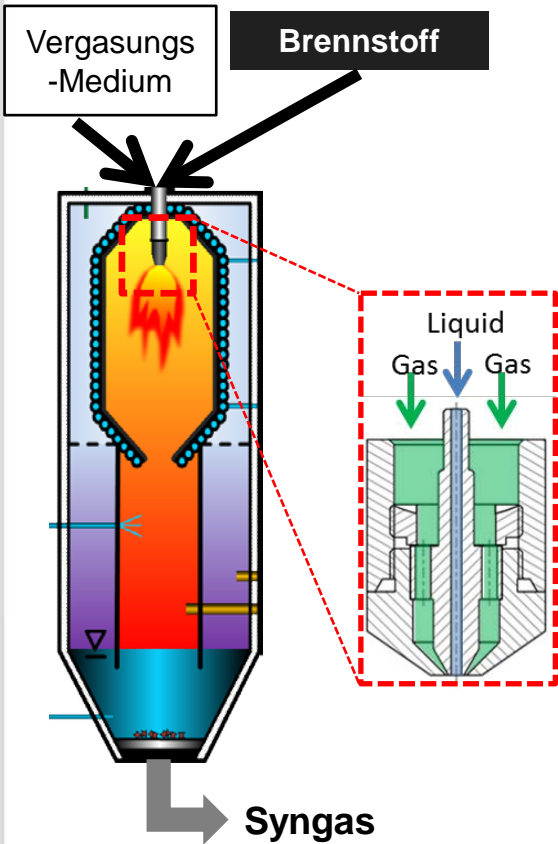
Partikelauflheizung

Vergasungsreaktionen

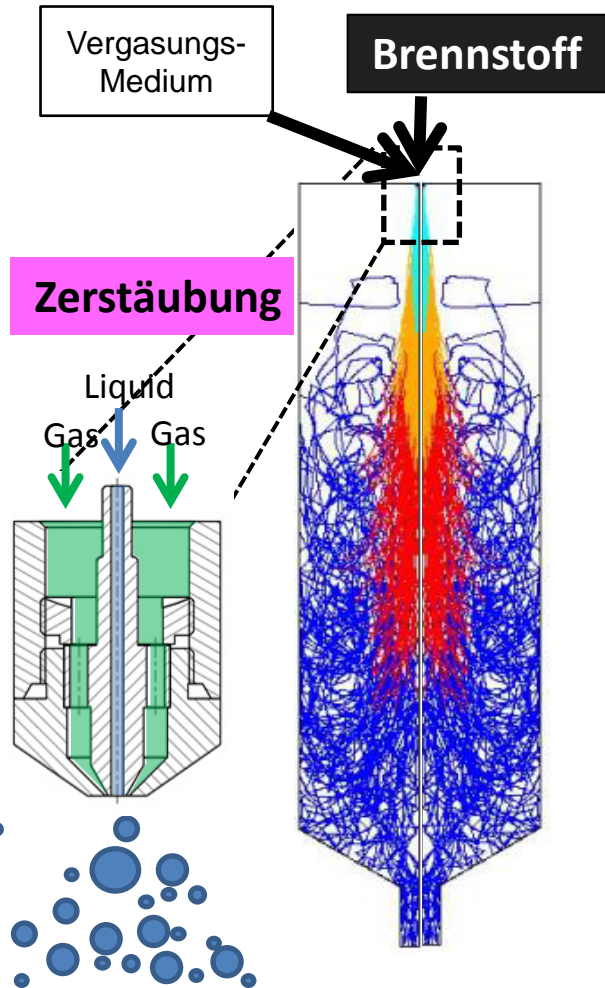
Inertmaterial (Asche, Schlacke)



Zerstäubung ↔ Vergasung



$$GLR = \frac{\dot{M}_{Gas}}{\dot{M}_{Liq}} = \frac{\dot{M}_{Oxidizer}}{\dot{M}_{Fuel}} \propto S.R.$$



Experiment

Rheologie

Simulation

ITC




T. Jakobs A. Sanger

MVM



L. Jampolski

EBI

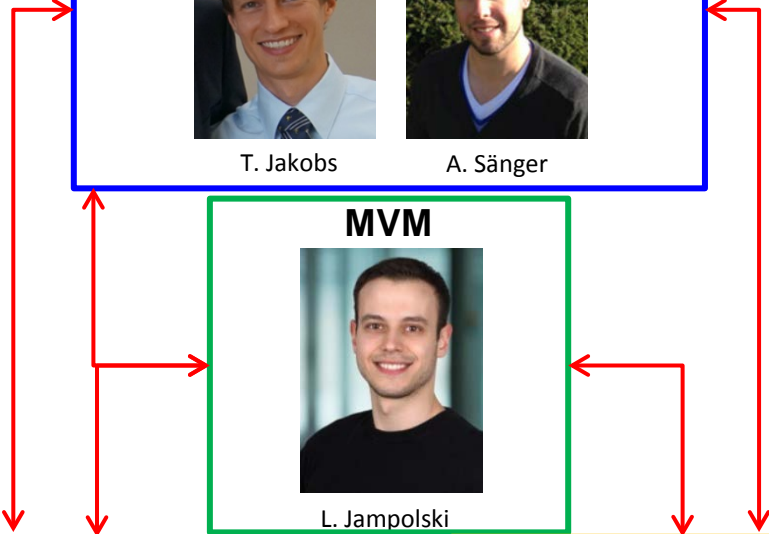


T. Muller

ITS



G. Chaussonnet



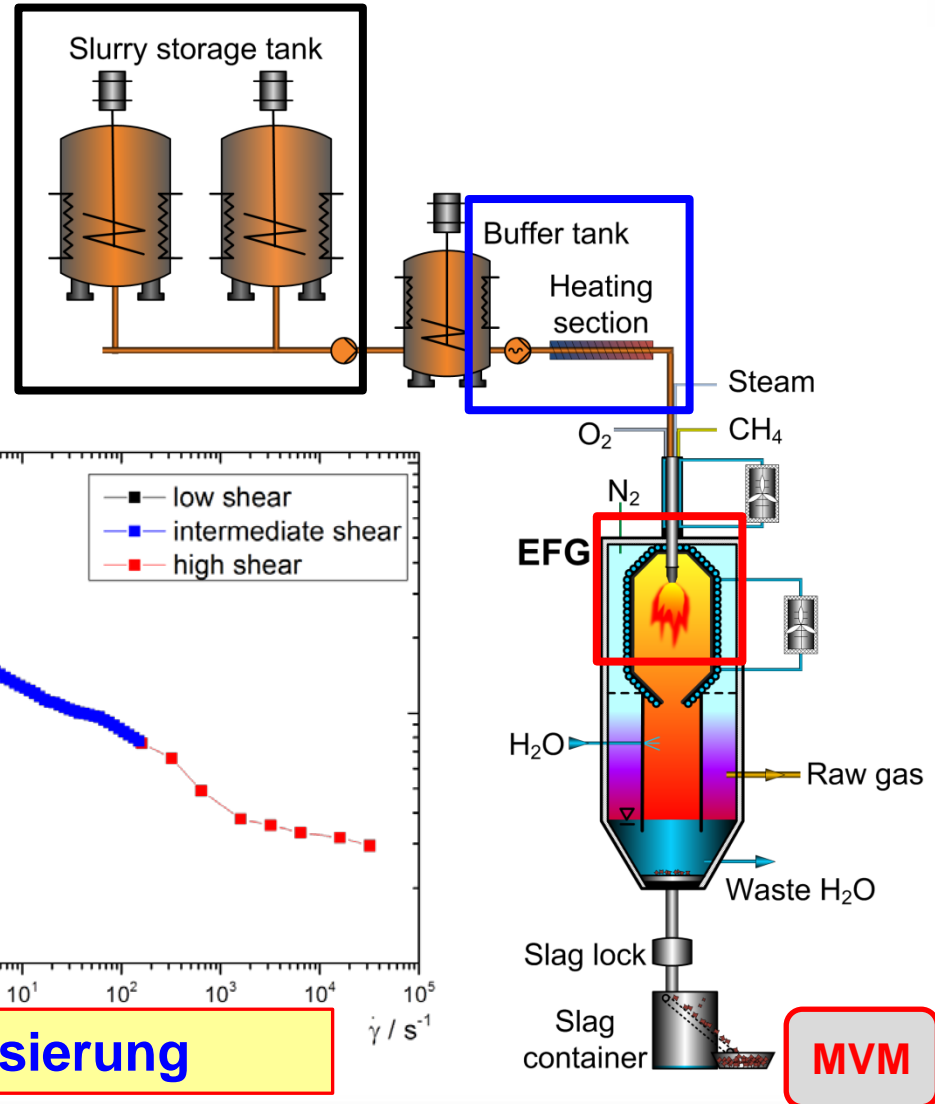
→ Brennerentwicklung & Modellierung der Zerstaubung

Rheologische Untersuchung biosyncrude

biosyncrude:

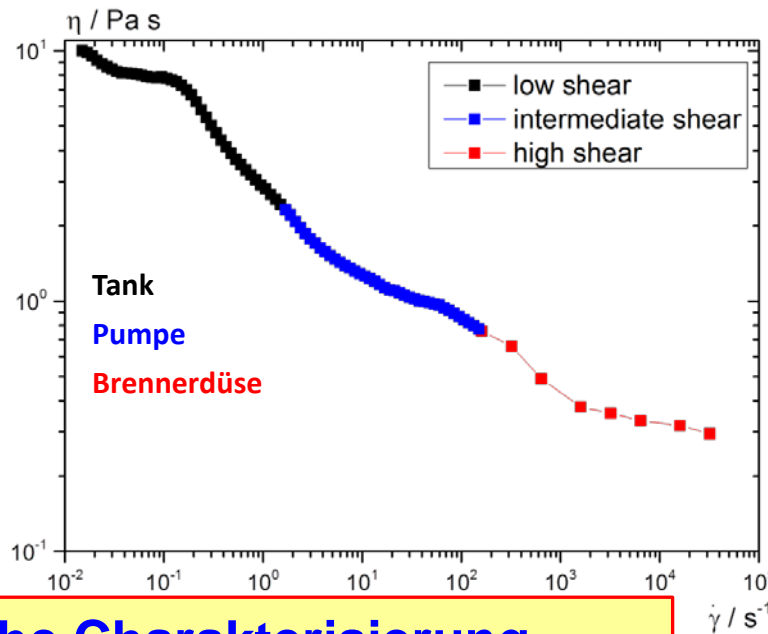


Brennstoff



Rheologische Eigenschaften:

- Fließverhalten
- Viskosität (bis zu 10 Pa·s)

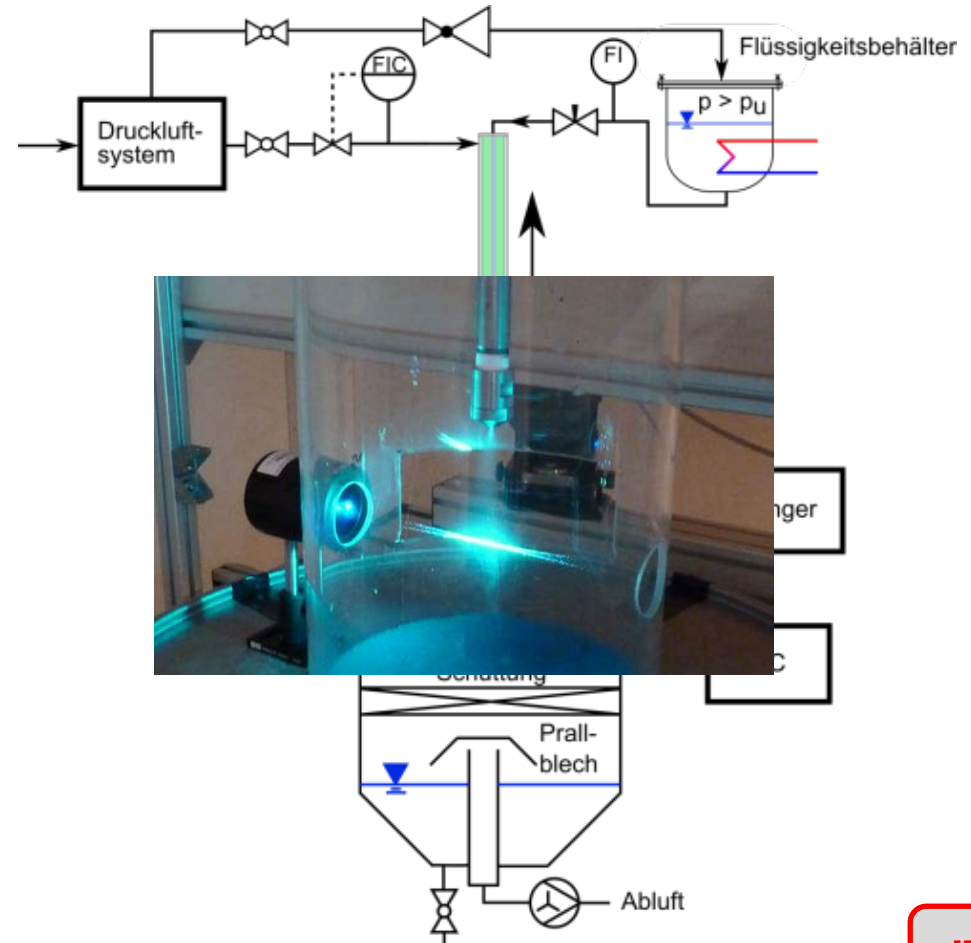


→ Rheologische Charakterisierung

Versuchsanlage – ATMO

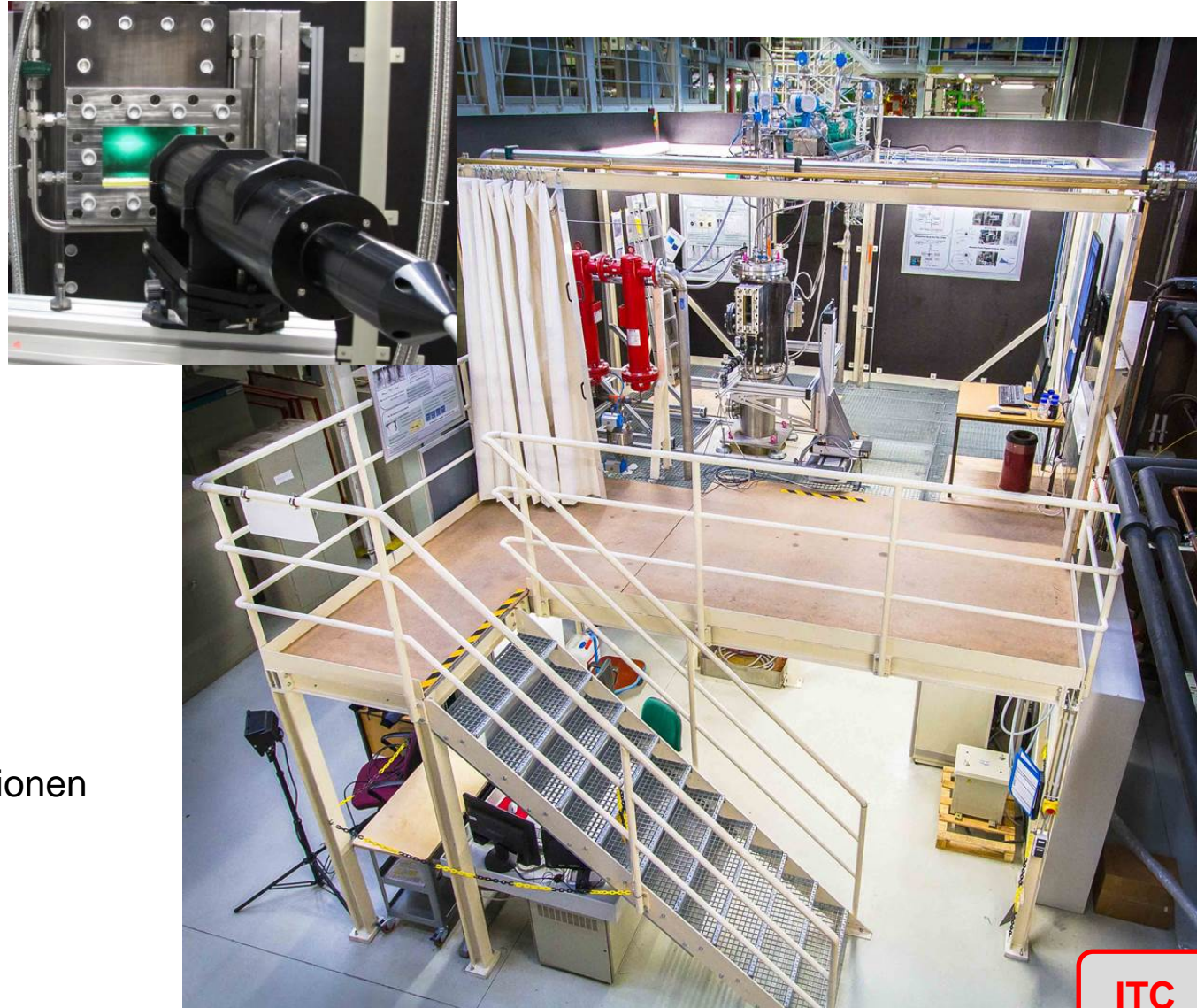
Technische Daten:

- $p = 1 \text{ bar}_{\text{abs}}$
- $\eta_{\text{liq,max}} = 1000 \text{ mPa s}$
- $T_{\text{liq}} = 10 - 50 \text{ }^\circ\text{C}$
- $\dot{m}_{\text{gas}} = 1 - 20 \text{ kg h}^{-1}$
- $\dot{m}_{\text{liq}} = 1 - 20 \text{ kg h}^{-1}$
- geeignet für Suspensionen
- Verschiedene Düsen



Technische Daten:

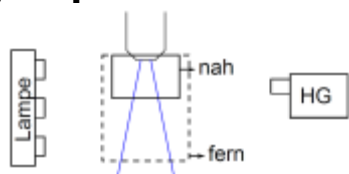
- $p_{\text{reac}} = 1 - 21 \text{ bar}_{\text{abs}}$
- $\eta_{\text{liq,max}} = 1000 \text{ mPa s}$
- $T_{\text{liq}} = 10 - 50 \text{ °C}$
- $\dot{m}_{\text{gas}} = 1 - 500 \text{ kg h}^{-1}$
- $\dot{m}_{\text{liq}} = 10 - 200 \text{ kg h}^{-1}$
- 3 optische Zugänge
- Scheibenreinigung
- geeignet für Suspensionen
- Verschiedene Düsen



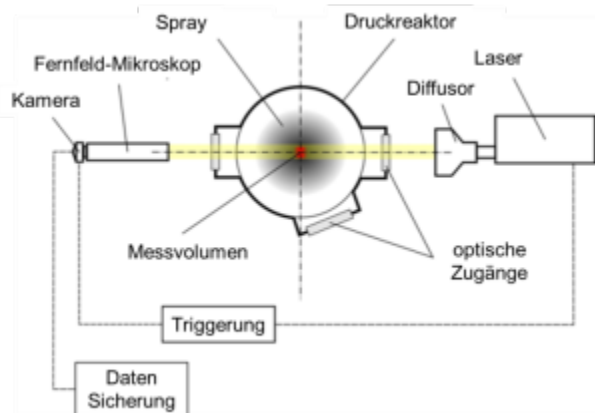
ITC

Eingesetzte Messtechnik

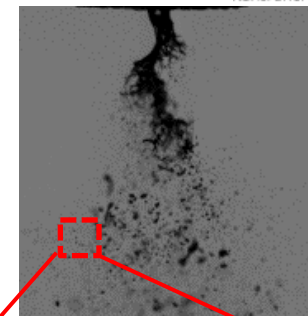
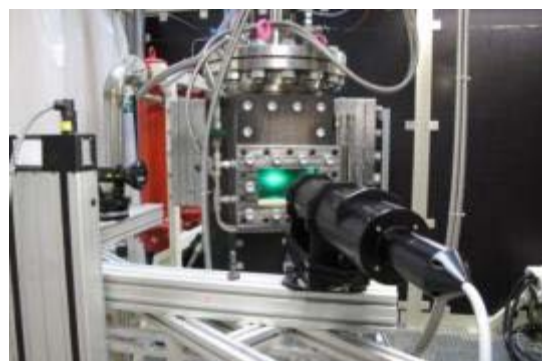
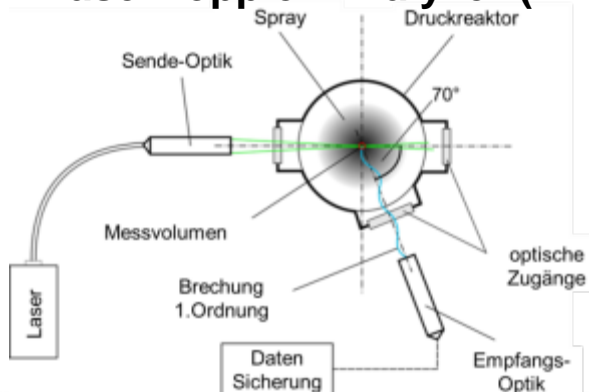
High Speed Camera



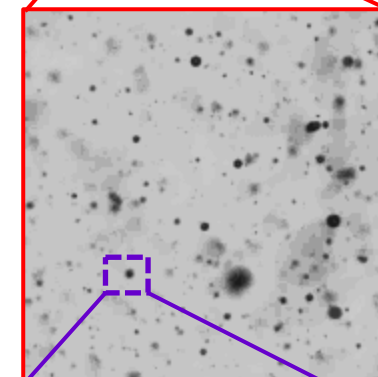
Shadow-Sizer



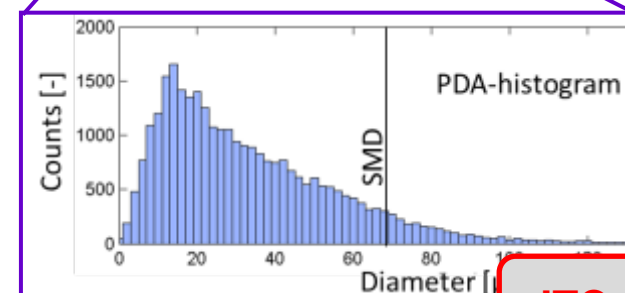
Phase-Doppler-Analyzer (PDA / LDA)



HG-Kamera

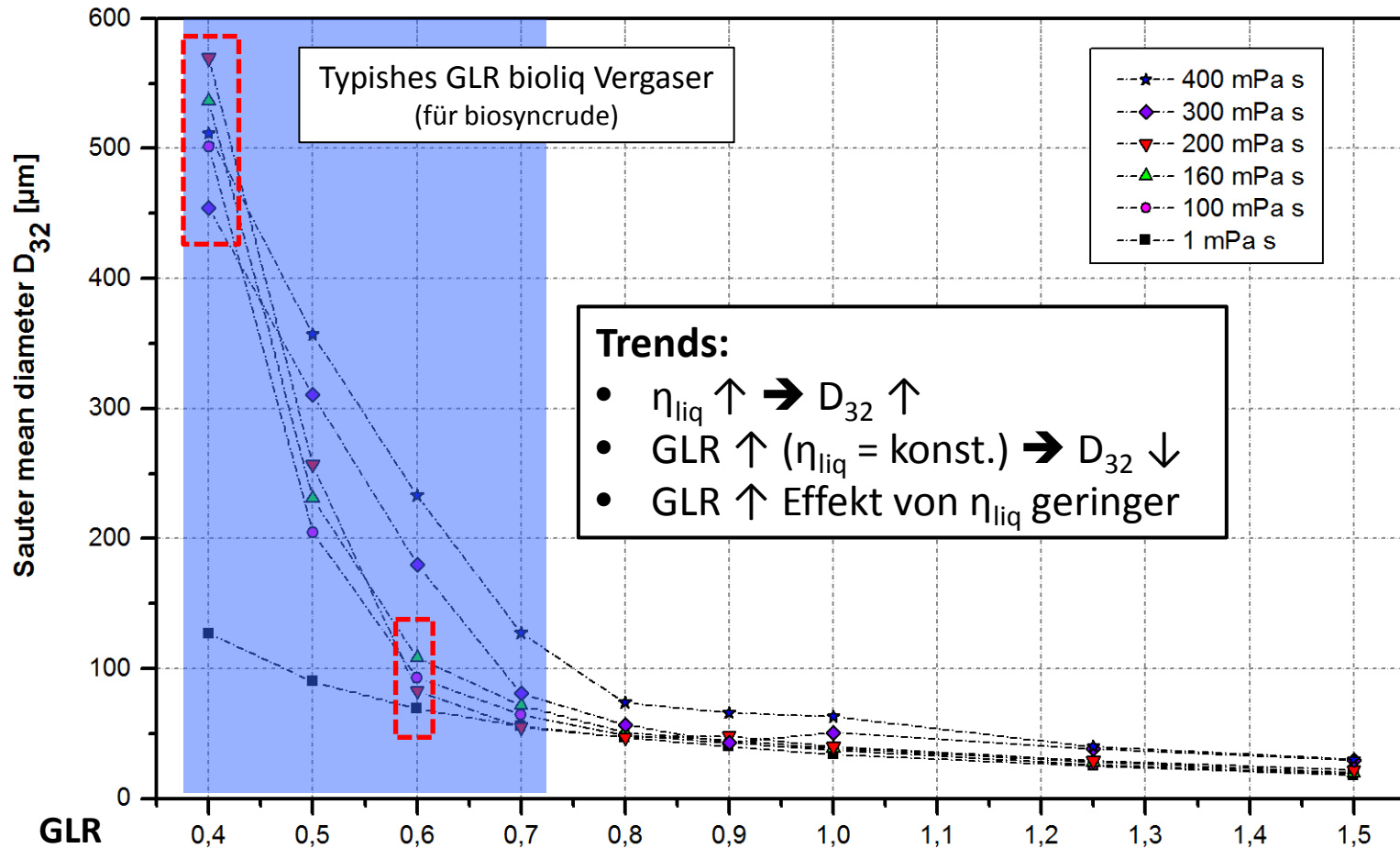


Fernfeldmikroskop



ITC

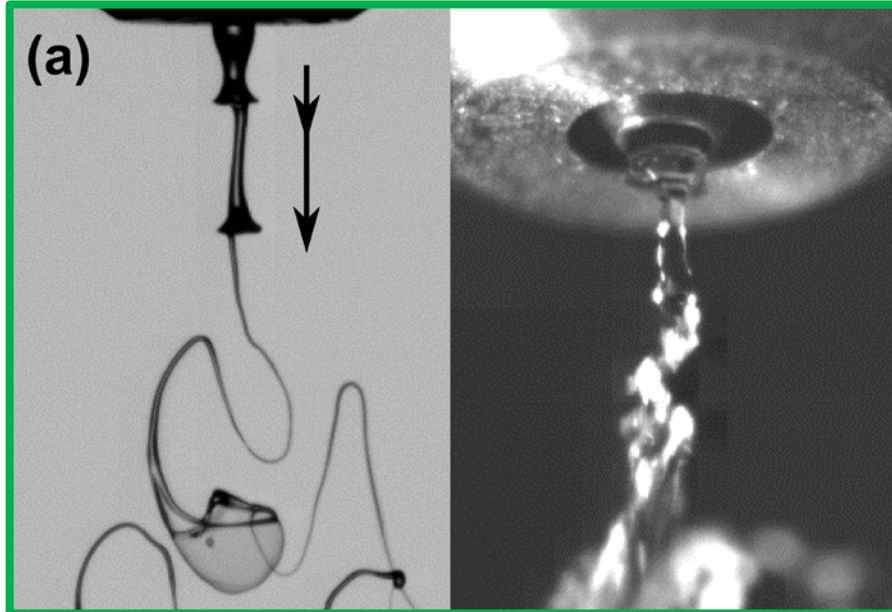
Tropfengröße als Fkt. der Viskosität



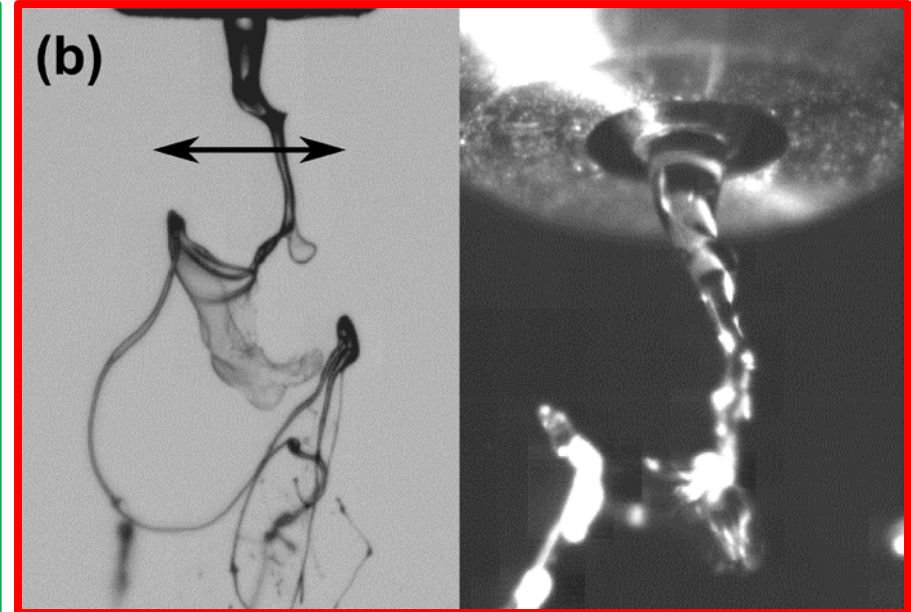
→ Unerwartetes Verhalten der Tropfengröße

ITC

Pulsating



Flapping

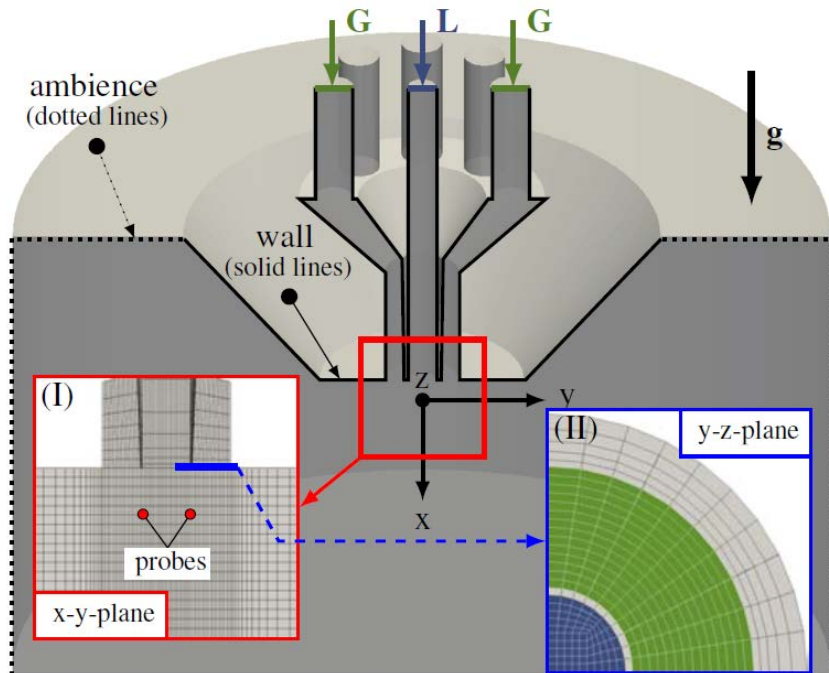


- Hohe aerodynamische Kräfte ($GLR > 1.0$) → *Pulsating mode*
- Geringere aerodynamische Kräfte ($GLR < 1.0$) und $\eta_{liq} < 200$ mPa·s → *Pulsating mode*
- Geringere aerodynamische Kräfte ($GLR < 1.0$) und $\eta_{liq} > 200$ mPa·s → *Flapping mode*

→ **Flapping effektiver als Pulsating**

ITC

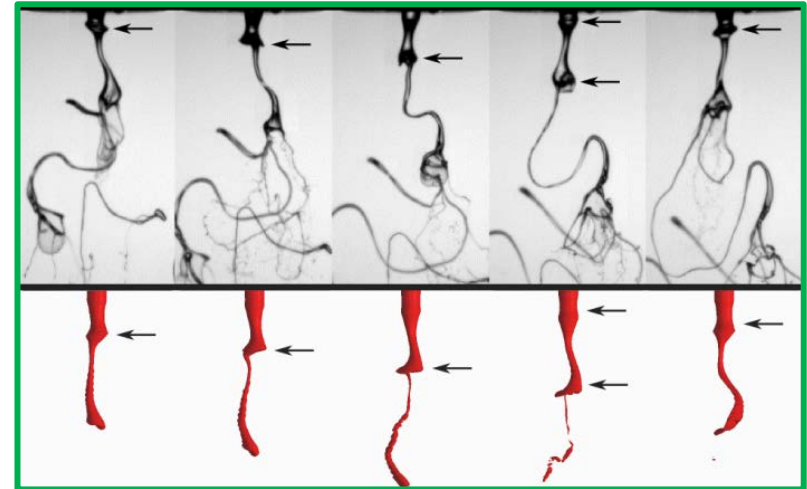
VoF Modell – Gitter



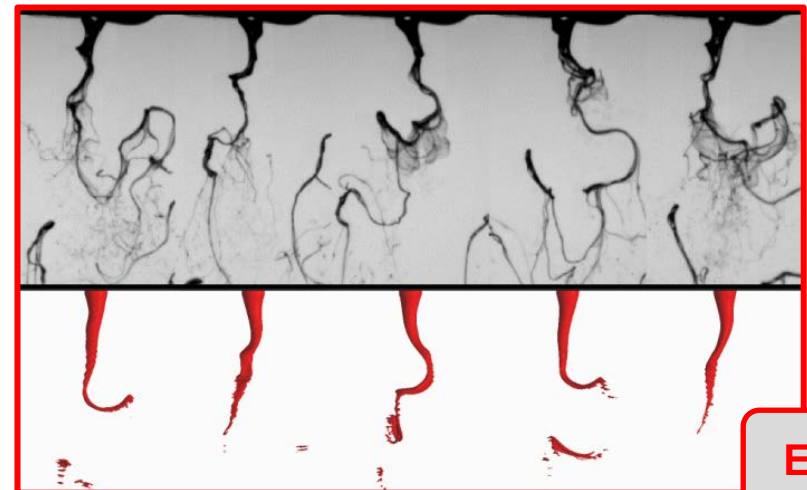
Gitter:

6.6 Millionen Zellen
 $50 \times 50 \times 50 \mu\text{m}^3$

Pulsating

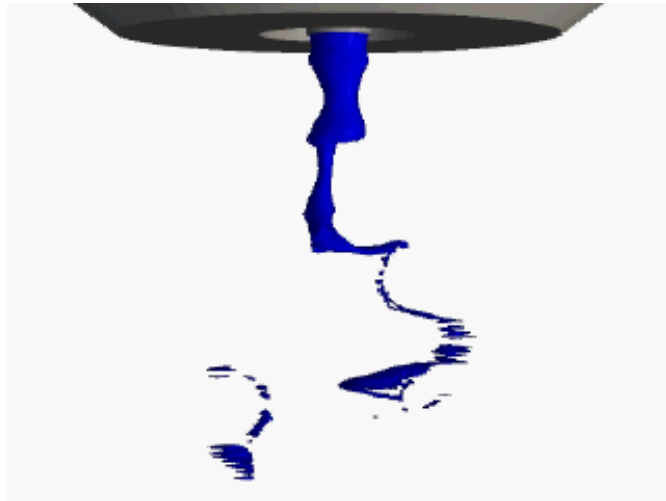


Flapping



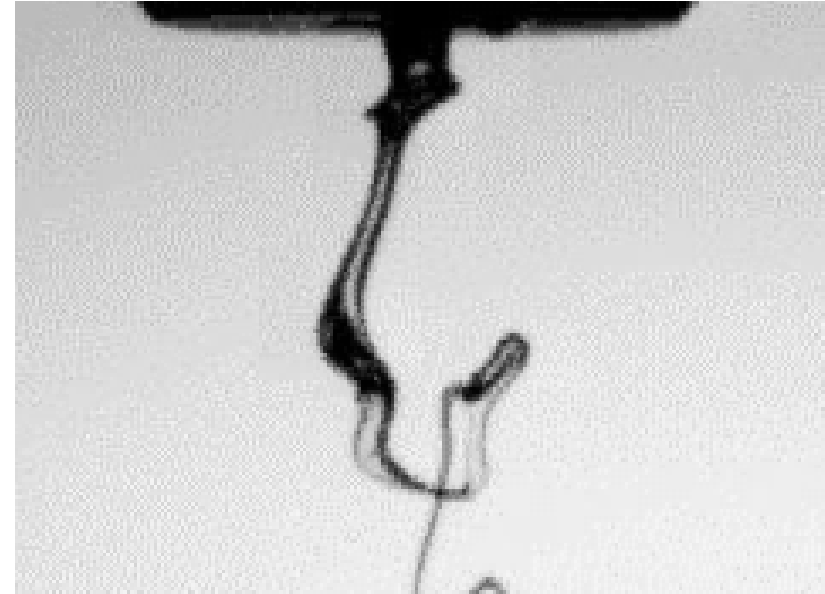
EBI

Simulation



$$f_{\text{primär}} = 429 \text{ Hz}$$

Experiment



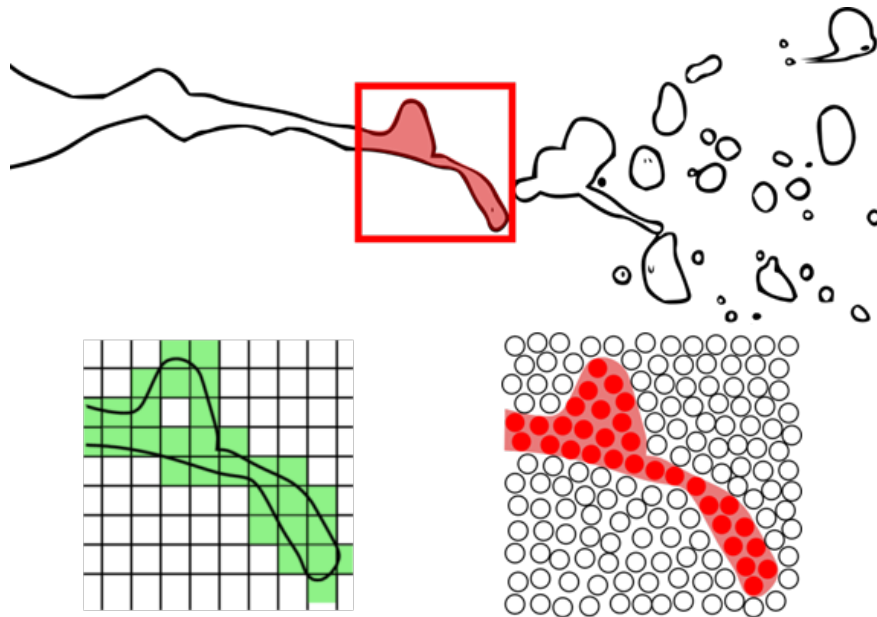
$$f_{\text{primär}} = 426 \text{ Hz}$$

→ Gute Übereinstimmung für alle Betriebspunkte

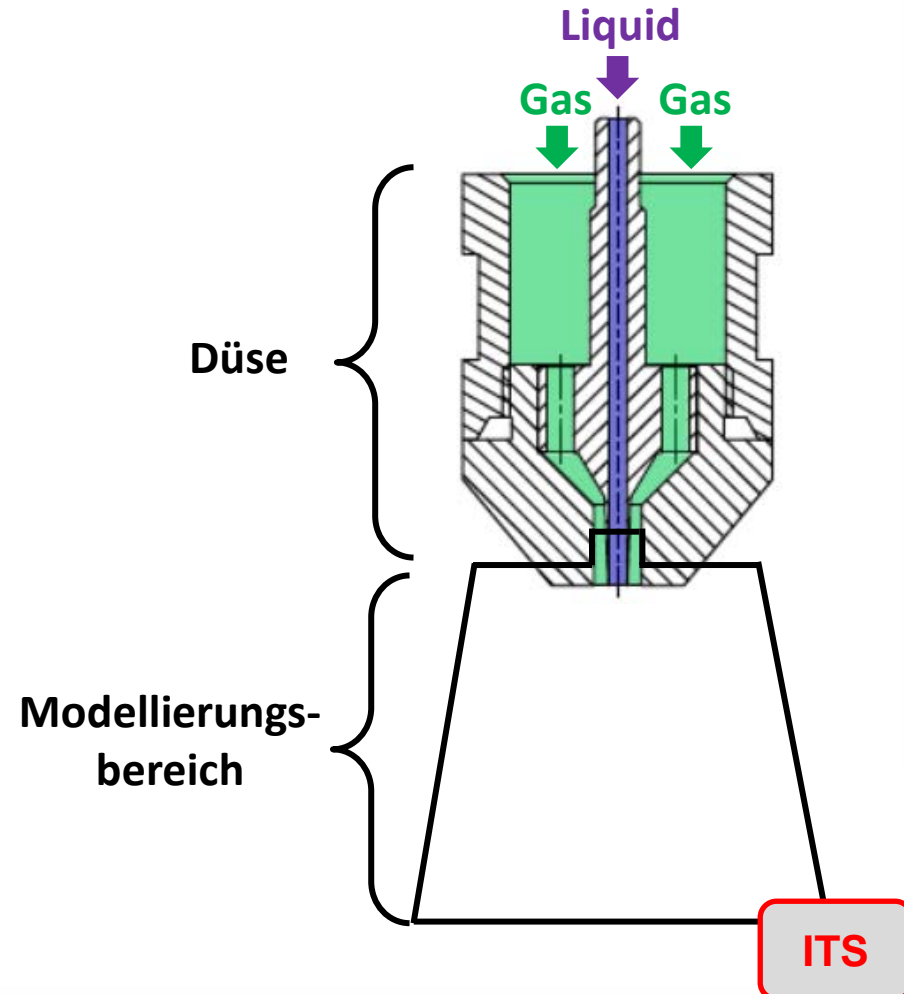
EBI

Vorteil: Mehrphasen / Grenzflächen Handling:

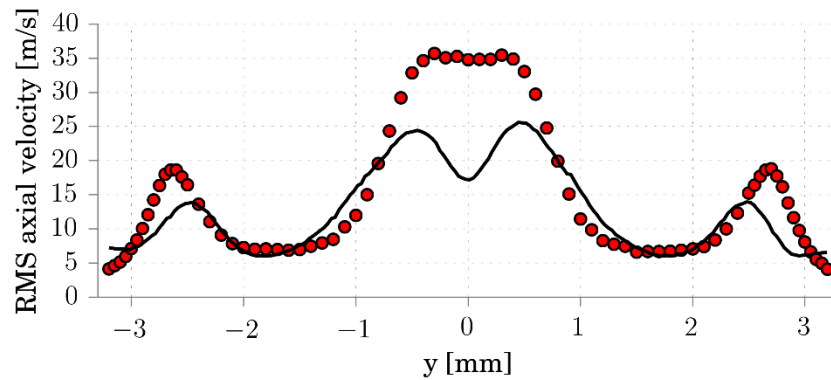
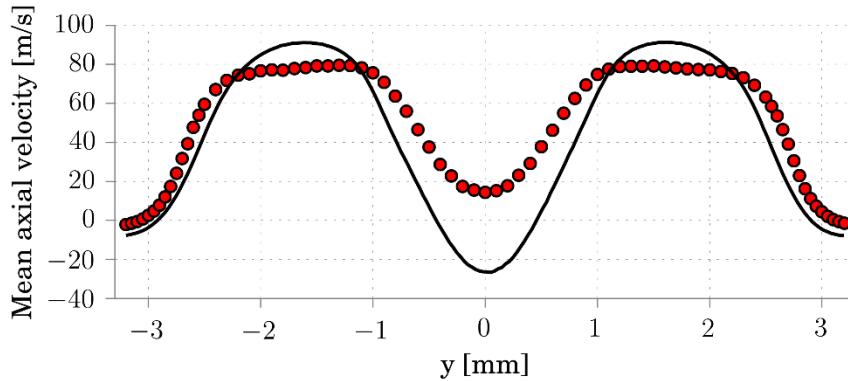
- Kein Gitter nötig
- Grenzfläche automatisch gegeben



Numerisches Setup



Simulation Gasströmung



→ Gute Übereinstimmung der Axialgeschwindigkeit

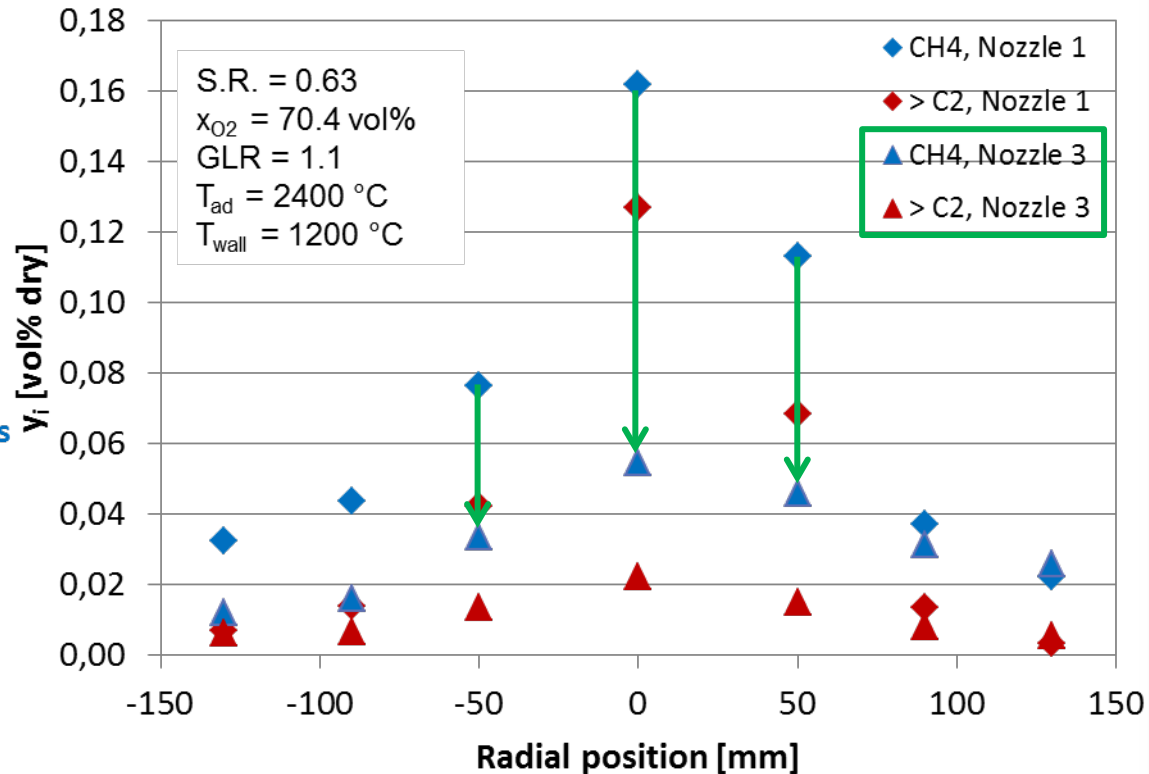
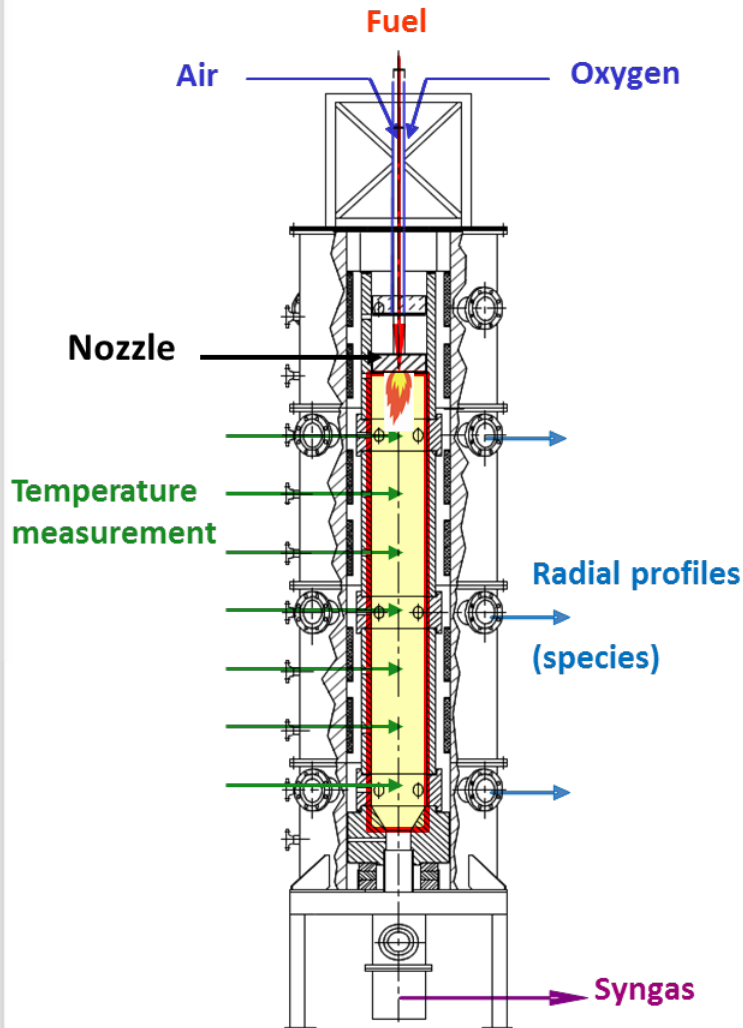
ITS

Einfluss Druck – Zerstäubung hochviskos

32 P_{reac}

ITC

Einsatz neuer Brennerdüsen im Vergaser



→ Verbesserung der Syngas Qualität durch neue Düse

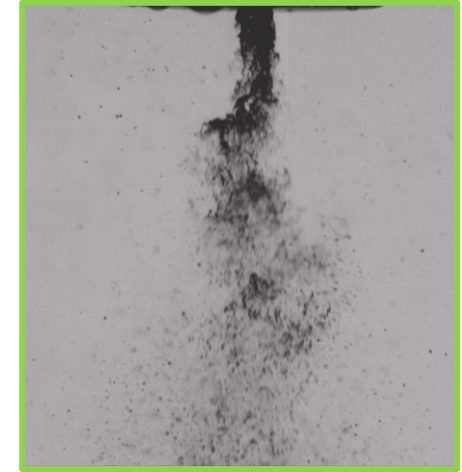
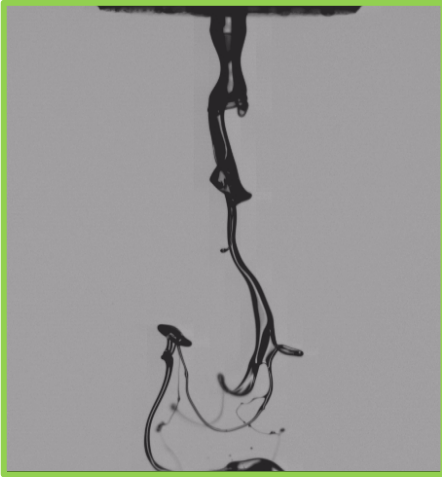
ITC

Zusammenfassung

- Rheologische Charakterisierung biosyncrude
- Zerstäubung hochviskoser Brennstoffe bei 1 – 21 bar_{abs}
- Numerische Simulation des Strahlzerfalls (VoF / SPH)
- Einsatz Brennerdüsen im Vergaser → Syngas-Qualität gesteigert

Ausblick

- Optimale Sprayqualität für ein breites Brennstoffspektrum



Danke!

